

(168) $\text{Al}_2\text{O}_3-\text{SiC}-\text{C}$ 質煉瓦の高耐食性化

日本钢管㈱ 技研・福山研究所 ○高橋達人 西 正明
 福山製鉄所 山瀬 治 栗山伸二
 品川白煉瓦㈱ 技術研究所 藤原禎一 市川健治

1. 緒言 溶銑予備処理用の耐火物として、 $\text{Al}_2\text{O}_3-\text{SiC}-\text{C}$ 質煉瓦 A を開発し、現在、福山製鉄所において常用している。さらに高耐食性化を目指すために $\text{Al}_2\text{O}_3-\text{SiC}-\text{C}$ 質煉瓦の損耗機構⁽¹⁾⁽²⁾に基づいて SiC 量の低減と Al_2O_3 量の増大を行った $\text{Al}_2\text{O}_3-\text{SiC}-\text{C}$ 質煉瓦 B は、回転式スラグ試験法による実験的検討において、 $\text{Al}_2\text{O}_3-\text{SiC}-\text{C}$ 質煉瓦 A の 2.2 倍の高耐食性を得たが、実鍋使用においては、平行剥離が発生し、損耗速度の減少という目的を達成できなかった。そこでこれら使用後の煉瓦の解析と、使用前の煉瓦の長時間焼成後の品質・物性調査から平行剥離の発生の調査を行った。これにより、耐食性に優れかつ耐スパッタリング性にも優れた $\text{Al}_2\text{O}_3-\text{SiC}-\text{C}$ 質煉瓦 C を開発した。

2. 調査結果と考察 ① 使用後煉瓦の顕微鏡観察：煉瓦 A においては、マトリックス中のグラファイトの中に Al_2O_3 粒が存在し、グラファイトが Al_2O_3 粒間の接触を断つような組織をしている。一方、煉瓦 B は Al_2O_3 粒に寸断された形でグラファイトが存在し、かつ Al_2O_3 を増加させたときの粒度が微粉側へ偏ったことから Al_2O_3 粒が絡み合った状態になっている。② 使用後煉瓦の熱膨張変化：Fig.1 に示すように煉瓦 A の熱膨張曲線が、稼動面と 100 mm 奥とでほとんど同じであるのに比べ、煉瓦 B では、稼動面の方が大きい。③ 使用前煉瓦の還元焼成後の曲げ強度の変化：Fig.2 に示すように、煉瓦 B は 1400 °Cにおいて、焼成時間の増加(3 hr → 100 hr)により、曲げ強度が約 50%_{cd} 増加する。さらに、全体の強度が高いのが特徴である。

以上より煉瓦 B の平行剥離の原因は SiC を減少させることにより Al_2O_3 粒間の絡み合いが増加し粒間の焼結を促進し、結果として稼動面と背後の物性の差を引き起こしたことによると考えられる。

3. 高耐食性 $\text{Al}_2\text{O}_3-\text{SiC}-\text{C}$ 質煉瓦 C の開発 以上の結果を基に、グラファイトを高純度化し、粒度配合を再調整した煉瓦 C は、Table 1 に示すように 1400 °C の焼成時間変化に対する強度変化が少なく、かつ回転式スラグ試験結果では煉瓦 A の 2.0 倍の耐食性を有している。この煉瓦を実鍋のスラグラインに張り分け使用した結果、1.17倍(226回使用、内新製鋼法処理 14.2%)の耐用性を得た。

文献 (1) 木谷, 高橋, 半明, 小倉, 吉野, 藤原：耐火物，35(1983), p.3

(2) 高橋, 木谷, 宮下, 山口：窯業協会誌, 91(1983), p.157

Table 1. Typical properties of $\text{Al}_2\text{O}_3-\text{SiC}-\text{C}$ bricks			
Bricks	A	B	C
Chemical Composition (%)			
Al_2O_3	66	79	77
SiC + C	28	15	17
Apparent Porosity (%)	7.0	8.8	7.5
Bulk Density (g/cm³)	3.08	3.18	3.14
C.M.O.R.			
after 110°C × 24hr	76	112	105
after 1400°C × 3hr	93	121	92
(kg/cm²)			
after 1400°C × 10hr	99	155	93
after 1400°C × 30hr	102	175	98
after 1400°C × 100hr	111	169	109
Thermal Expansion(%, at 1400°C)	0.78	0.96	0.82
Wear Ratio (Rotary Slag Test)	1.00	0.45	0.50

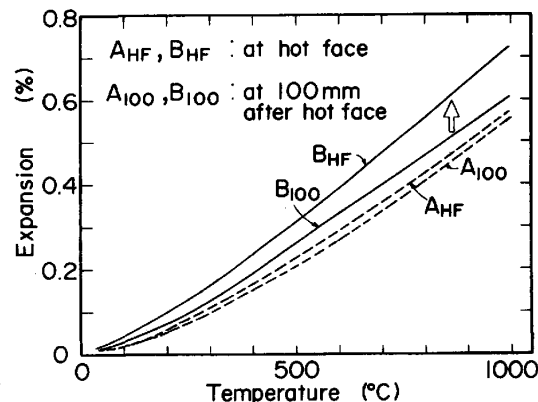


Fig. 1. Thermal expansion after use.

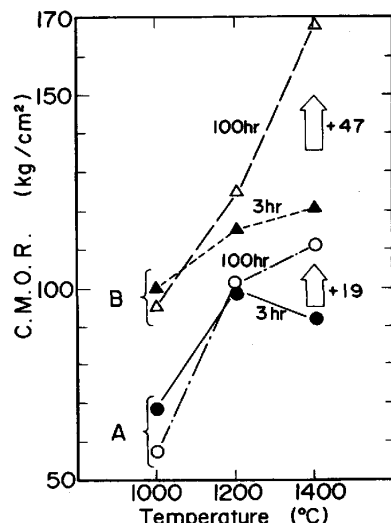


Fig. 2. Cold modulus of rupture after heating.